

代入式 (15) 可导出单元刚度方程

$$[k]_{el} \{e\} = \{P\} + \{\bar{P}\} + \{F\} + \{\bar{F}^M\} \quad (17)$$

其中 $\{P\}$ 和 $\{\bar{P}\}$ 分别为单元的体力和面力的等效节点列向量, $\{\bar{F}^M\}$ 为单元上点 M 的集中力 F_i^M 的等效节点力向量, 其表达形式与按静力等效的前处理结果完全相同

$$\{\bar{F}^M\} = [N^M]^T \{F^M\} \quad (18)$$

4 结 论

(1) 虚功原理包含了更广泛意义的平衡. 仅有面力和体力作用时, 虚功方程等价于平衡方程和应力边界条件; 当有集中力作用时, 连续体虚功方程不等价于通常的平衡方程和边界条件, 而等价于式 (13) 和

式 (14) 表达的广义形式.

(2) 在有限元计算中进行网格划分时, 集中力作用点可以是非节点. 非节点集中力的等效节点力可以从单元的虚功方程中自然得到, 没有必要进行前处理.

参 考 文 献

- 1 华东水利学院. 弹性力学问题的有限单元法. 北京: 水利电力出版社, 1978
- 2 蒋友谅. 非线性有限元法. 北京: 北京工业大学出版社, 1988
- 3 钱伟长. 变分法及有限元, 上册. 北京: 科学出版社, 1980
- 4 李四平, 杨挺青. 考虑集中力作用的连续体欧位运动方程. 华中理工大学学报, 1997 (9)

(本文于 1997 年 5 月 16 日收到)

复杂细长压杆临界力计算的传递矩阵法

刘庆潭

(长沙铁道学院 数力系, 长沙 410075)

摘要 本文提出对复杂的细长压杆临界力计算的传递矩阵法. 通过实例的计算, 证明了本方法是一种精确度高且简便易行的方法, 适于工程技术人员在微机上的应用.

关键词 变截面, 传递矩阵, 临界力, 稳定性

1 场矩阵

1.1 等截面细长压杆

图 1 所示的等截面细长压杆, 有如下的关系^[1]

$$\begin{bmatrix} y \\ M \\ Q \end{bmatrix}_{x=L} = \begin{bmatrix} 1 & e_2 & -e_3/EI & -e_4/EI \\ 0 & e_1 & -e_2/EI & -e_3/EI \\ 0 & EIe_0 & e_1 & e_2 \\ 0 & 0 & 0 & 1 \end{bmatrix} \begin{bmatrix} y \\ M \\ Q \end{bmatrix}_0 \quad (1)$$

引起的情

其中, $e_0 = k \sin kx$, $e_1 = \cos kx$, $e_2 = \sin kx/k$, $e_3 = (1 - \cos kx)k^2$, $e_4 = (kx - \sin kx)/k^3$, $k = \sqrt{P/EI}$.

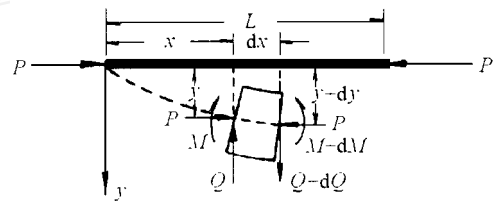


图 1

将式 (1) 写成矩阵形式为

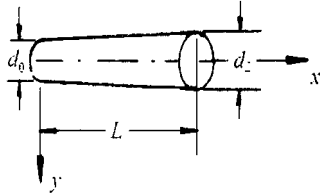
$$S_{x=L} = U S_0 \quad (2)$$

式 (2) 中的 S_0 为杆左端初始状态向量, $S_{x=L}$ 为杆右端的末端状态向量. 由式 (2) 可见, 通过一个矩阵 U 就将杆左端的状态向量传到了右端, 矩阵 U 即为传递矩阵 (场矩阵). 对等截面细长压杆而言, 传递矩阵 U 就是式 (1) 中的 4×4 阶的方阵.

1.2 变截面细长压杆

其 对于图 2 所示的直径沿轴线成线性变化的圆截面压杆, 设始端直径为 d_0 , 末端直径为 d_L , 令 $k = \frac{d_L - d_0}{d_0 L}$, $I_0 = d_0^4/64$, 则场矩阵为^[2]

$$U = \begin{bmatrix} 1 & U_{12} & U_{13} & U_{14} \\ 0 & U_{22} & U_{23} & U_{24} \\ 0 & U_{32} & U_{33} & U_{34} \\ 0 & 0 & 0 & 1 \end{bmatrix} \quad M \quad (3)$$



和

图2

其中

$$U_{12} = \frac{\sin \alpha_0 \cos \alpha - \cos \alpha_0 \sin \alpha}{k}$$

$$U_{13} = \frac{\sin \alpha}{k} \cdot \frac{\mu + \cos \alpha_0 (k \sin \alpha_0 - \mu \cos \alpha)}{EI_0 \mu^2 \sin \alpha_0} -$$

$$\frac{\cos \alpha}{k} \cdot \frac{k \sin \alpha_0 - \mu \cos \alpha_0}{EI_0 \mu^2} - \frac{1}{EI_0 \mu^2}$$

$$U_{14} = \frac{\sin \alpha_0 \cos \alpha - \cos \alpha_0 \sin \alpha}{EI_0 \mu^2 k} - \frac{x}{EI_0 \mu^2}$$

$$U_{22} = \frac{\sin \alpha_0}{\mu} (k \cos \alpha + k \sin \alpha) -$$

$$\frac{\cos \alpha_0}{\mu} (k \sin \alpha - k \cos \alpha)$$

$$U_{23} = \frac{\mu + \cos \alpha_0 (k \sin \alpha_0 - \mu \cos \alpha)}{EI_0 \mu^3 \sin \alpha_0} \cdot$$

$$(k \sin \alpha - k \cos \alpha) - \frac{(k \sin \alpha_0 - \mu \cos \alpha_0)}{EI_0 \mu^3} (k \cos \alpha + k \sin \alpha) \quad r$$

$$U_{24} = \frac{\sin \alpha_0}{EI_0 \mu^3} (k \cos \alpha + k \sin \alpha) -$$

$$\frac{\cos \alpha_0}{EI_0 \mu^3} (k \sin \alpha - k \cos \alpha) - \frac{1}{EI_0 \mu^2}$$

$$U_{32} = \frac{EI_0 \mu^2}{k} (\cos \alpha \sin \alpha_0 - \sin \alpha \cos \alpha_0)$$

$$U_{33} = \frac{\mu + \cos \alpha_0 (k \sin \alpha_0 - \mu \cos \alpha)}{k \sin \alpha_0} \sin \alpha -$$

$$\frac{k \sin \alpha_0 - \mu \cos \alpha_0}{k} \cos \alpha$$

$$U_{34} = \frac{\sin \alpha_0 \cos \alpha - \cos \alpha_0 \sin \alpha}{k}, \quad \mu^2 = \frac{P}{EI_0}$$

$$= \mu (1 + kx)^{-1} / k, \quad \alpha_0 = \mu / k$$

对于边长成线性变化的正方形截面压杆, 其始端

边长为 a_0 , 末端边长为 a_L , 其场矩阵有和式 (3) 完全相同的形式, 只不过这时的 $k = \frac{a_L - a_0}{a_0 L}$, $I_0 = a_0^4 / 12$.

2 点矩阵

在图 3 (a) 所示的弹性支座处, 左右侧的状态向量传递关系为^[3]

$$\begin{bmatrix} y \\ M \\ Q \end{bmatrix}_j^R = \begin{bmatrix} 1 & 0 & 0 & 0 \\ 0 & 1 & 0 & 0 \\ 0 & 0 & 1 & 0 \\ k & 0 & 0 & 1 \end{bmatrix} \begin{bmatrix} y \\ M \\ Q \end{bmatrix}_j^L \quad (4)$$

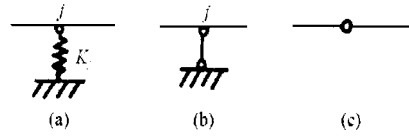


图3

将式 (4) 写成矩阵形式为

$$S_j^R = \bar{U}_j S_j^L \quad (5)$$

由式 (5) 可见, 通过矩阵 \bar{U}_j 可将 j 处左侧的状态向量传至右侧, 矩阵 \bar{U}_j 称为点矩阵.

在图 3 (b) 所示的中间支座处, 反映该处左右侧状态向量传递关系的点矩阵为^[3]

$$\bar{U}_j = \begin{bmatrix} 1 & 0 & 0 & 0 \\ 0 & 1 & 0 & 0 \\ 0 & 0 & 1 & 0 \\ K_{Qy} & K_Q & K_{QM} & 1 + K_{QQ} \end{bmatrix} \quad (6)$$

在图 3 (c) 所示的中间铰处, 反映该处左右侧状态向量传递关系的点矩阵为^[3]

$$\bar{U}_j = \begin{bmatrix} 1 & 0 & 0 & 0 \\ K_y & K + 1 & K_M & K_Q \\ 0 & 0 & 1 & 0 \\ 0 & 0 & 0 & 1 \end{bmatrix} \quad (7)$$

其中, $K_{Qi} = -U_{si} / U_{sQ}$, $K_i = -U_{si} / U_s$ ($i = y, M, Q$), s 是下一个边界条件中某个为零的状态变量, U_{si} 是 U_{j+1} 中的元素.

3 细长压杆临界力计算的传递矩阵法求解

如整个杆被分成 n 段, 则有

$$S_n = U_n U_{n-1} \dots \bar{U}_j \dots U_2 U_1 S_0 = U S_0 \quad (8)$$

式 (8) 的 U 为总体传递矩阵. 注意到杆的左端状态变量总有两个是未知的, 设为 S_{0m} 和 S_{0n} , 杆的右端总有两个状态变量为零, 设为 S_k 和 S_j , 则由式 (8) 总可得到两个含有 S_{0m} 和 S_{0n} 的方程. 对于没有中间约束的杆有

$$\left. \begin{aligned} U_{km}S_{0m} + U_{kn}S_{0n} &= 0 \\ U_{jm}S_{0m} + U_{jn}S_{0n} &= 0 \end{aligned} \right\}$$

]

论

www.cnki.net

k

录

睛

]

$P_{cr} = \frac{9.808 EI_2}{L^2}$, 文 [4] 算得 $P_{cr} = \frac{9.81 EI_2}{L^2}$, 两者完全吻合。

对于承受均布轴向压力的杆件, 可将杆分成若干段, 每段均承受由均布轴向力换算而成的集中力作用, 同样可求出整根压杆的临界力。

参 考 文 献

1 刘庆潭, 倪国荣. 压杆稳定性和横向自由振动计算的传递

- 矩阵法. 长沙铁道学院学报, 1994 (4)
 2 刘庆潭. 含锥形变截面压杆稳定计算的传递矩阵法. 计算结构力学及其应用, 1996 (3)
 3 刘庆潭, 倪国荣. 弹性地基梁的传递矩阵法求解. 长沙铁道学院学报, 1992 (1)
 4 刘鸿文. 高等材料力学. 北京: 高等教育出版社, 1985
 (1996年11月11日收到第1稿,
 1997年5月8日收到修改稿)

单自由度线性系统自由振动的 Taylor 级数法

任革学 程建纲

(清华大学工程力学系, 北京 100084)

摘要 本文从单自由度线性系统的运动方程及初始条件出发, 用递推的方式导出初始时刻解的各阶导数, 并由 Taylor 级数直接得到系统自由振动的通解表达式。

关键词 单自由度线性系统, 自由振动, Taylor 级数

首先考虑无阻尼单自由度系统的自由振动, 其数学提法是求解方程

$$m\ddot{x} + kx = 0 \quad (1)$$

满足初始条件

$$x(0) = x_0 \quad (2a)$$

$$\dot{x}(0) = \dot{x}_0 \quad (2b)$$

的解. 振动教科书上的一般解法是: 假设形如 $x = e^t$ 的解代入运动方程 (1), 从得到的特征方程可解得两个基本解, 进而构造通解, 并由初始条件确定通解中的两个常数得到最终解答

$$x(t) = x_0 \cos pt + \frac{\dot{x}_0}{p} \sin pt \quad (3)$$

式中, $p = \sqrt{k/m}$ 为圆频率。

上述方法是常微分方程理论中的的基本做法. 文献 [1] 在阐述给定初始条件 (2a) 和 (2b) 后, 就可以确定初值问题时, 采用了 Taylor 级数展开的方法. 实际上借用文献 [1] 的想法, 单自由度系统初值问题的解可以解析地得到. 下面给出仅用 Taylor 展开的概念就可以导出初值问题解的求解方法。

根据圆频率 p 的定义方程 (1) 可以改写成下面的形式

$$\ddot{x} + p^2 x = 0 \quad (4)$$

设 n 是任意自然数, 则将方程 (4) 对时间 t 求 n 阶导数得

$$x^{(n+2)} = -p^2 x^{(n)} \quad (n = 0, 1, 2, \dots) \quad (5)$$

(5) 式中 $n=0$ 对应的就是原方程 (4). 由递推公式 (5) 立即得初始时刻的各阶导数

$$n = 2k \text{ 为偶数} \quad x_0^{(2k)} = (-1)^k p^{2k} x_0 \quad (k = 0, 1, 2, \dots) \quad (6a)$$

$$n = 2k + 1 \text{ 为奇数} \quad \dot{x}_0^{(2k+1)} = (-1)^k p^{2k} \dot{x}_0 \quad (k = 0, 1, 2, \dots) \quad (6b)$$

初值问题的解可以用其在初始时刻的 Taylor 级数展开为

$$x(t) = \sum_{n=0}^{\infty} x_0^{(n)} \frac{t^n}{n!} = \begin{cases} x_0 - x_0 p^2 \frac{t^2}{2!} + \dots + (-1)^k x_0 p^{2k} \frac{t^{2k}}{(2k)!} + \dots + \\ \dot{x}_0 t - \dot{x}_0 p^2 \frac{t^3}{3!} + \dots + (-1)^k \dot{x}_0 p^{2k} \frac{t^{2k+1}}{(2k+1)!} + \dots \end{cases} \\ = x_0 \cos(pt) + \frac{\dot{x}_0}{p} \sin(pt) \quad (7)$$

由数学分析中的知识, 方程式 (7) 中所出现的级数的收敛半径为无穷大. 方程 (7) 恰好是所要求初值问题的解答。